



دانشکده علوم
گروه شیمی

پایان نامه جهت اخذ درجه کارشناسی ارشد بیوشیمی

عنوان:

بررسی اثر ضدباکتریایی نانوذرات اکسید روی به صورت جداگانه و
توأم با آنتی بیوتیک‌های سفتازیدیم، توبرامایسین و سیپروفلوکسازین
علیه باکتری *Pseudomonas aeruginosa*

استاد راهنما:

دکتر راضیه جلال

استاد مشاور:

دکتر الهه گوهرشادی

نگارش:

الناز بای رودی

بِسْمِ اللَّهِ الرَّحْمَنِ الرَّحِيمِ

پاس خدای را که

نومیدنیتم از رحمت او

تهیدست نیتم از نعمت او

و نه یابوس از مغفرت او

و نه سر بچیده از عبادت او

خدایی که رحمت او پیوسته است و نعمت او ناکسته

صمیمانه ترین تشکر و قدردانی ها را تقدیم می دارم به:

استاد ارجمندی که تقدیرم سرکار خانم دکتر جلال به پاس راهبانی های ارزنده، حمایت های بی دریغ و زحمات فراوان شان

تقدیر و پاس فراوان از:

استاد مشاور گرامی ام سرکار خانم دکتر کوثر شادی به پاس رهنمودهای سازنده و راهنمایی شان

تقدیر و تشکر فراوان از:

استاد گرامی جناب آقای دکتر آسوده و جناب آقای دکتر مشرقی به پاس پذیرش زحمت دآوری این پایان نامه

با پاس بی دریغ از:

دوستان عزیز و مهربانم که صمیمانه مرا یاری نمودند.

تقدیم به:

پدر بزرگوار و مادر مهربانم

که دعای خیرشان، همواره بدرقه راهم بوده است

همسرم

که تمام تجربه های یکتا و زیبای زندگیم مدیون همراهی و هدلی اوست

دختر عزیزم... آنیا

که با آدش از امید لبریزم نمودو

با صبوری های کودکانه اش آرامش را به منطه های زندگی ام بدید داد.

چکیده:

باکتری *Pseudomonas aeruginosa* یکی از مهم‌ترین عوامل بیماری‌زا در عفونت‌های بیمارستانی به شمار می‌رود. به دلیل مقاومت *P. aeruginosa* به بسیاری از آنتی‌بیوتیک‌ها، عفونت‌های ایجاد شده توسط این باکتری اغلب به سختی درمان می‌شوند. یکی از راه‌های غلبه بر این مشکل استفاده از درمان ترکیبی است. در این مطالعه، اثر ضدباکتریایی نانوذرات اکسید روی جداگانه و توأم با آنتی‌بیوتیک‌های سفنازیدیم، توبرامایسین و سیپروفلوکسازین علیه *P. aeruginosa* ارزیابی شد. دو سویه از باکتری *P. aeruginosa* شامل یک ایزوله کلینیکی و *P. aeruginosa* ATCC 9027 مورد استفاده قرار گرفت. فعالیت نانوذرات اکسید روی توأم با هر یک از آنتی‌بیوتیک‌ها از طریق محاسبه FICI بررسی شد. سلول‌های باکتری در فاز لگاریتمی به غلظت‌های جداگانه یا توأم از نانوذرات اکسید روی و آنتی‌بیوتیک‌های سفنازیدیم، توبرامایسین و سیپروفلوکسازین اضافه شد تا غلظت نهایی باکتری به 10^5 CFU/ml رسید. نمونه‌ها برای ۲۴ ساعت در دمای 37°C انکوبه شدند و میزان رشد باکتری با اندازه‌گیری جذب در طول موج ۶۳۰ نانومتر تعیین گردید. نمونه کلینیکی نسبت به نمونه استاندارد باکتری *P. aeruginosa* مقاومت بیشتری به نانوذرات اکسید روی و آنتی‌بیوتیک‌ها نشان داد. نتایج نشان داد که نانوذرات اکسید روی توأم با سفنازیدیم و توبرامایسین علیه نمونه‌های استاندارد و کلینیکی باکتری *P. aeruginosa* به صورت سینرژیک عمل می‌کند. اثر توأم نانوذرات اکسید روی و سیپروفلوکسازین علیه نمونه کلینیکی سینرژیک و علیه نمونه استاندارد متمایل به سینرژیک تعیین شد. باکتری *Staphylococcus aureus* نیز توانایی کسب مقاومت به طیف وسیعی از عوامل ضد میکروبی را دارد که درمان عفونت‌های ناشی از آن را با مشکل روبه‌رو کرده است. به دلیل مقاومت بیشتر *S. aureus* به سفنازیدیم در مقایسه با آنتی‌بیوتیک‌های توبرامایسین و سیپروفلوکسازین، اثر توأم نانوذرات اکسید روی و سفنازیدیم علیه این باکتری، به عنوان یک باکتری گرم مثبت بررسی شد. نتایج نشان داد که نوع اثر توأم بین نانوذرات اکسید روی و سفنازیدیم علیه *S. aureus* سینرژیک است.

کلمات کلیدی: نانوذرات اکسید روی، سفنازیدیم، توبرامایسین، سیپروفلوکسازین، *Pseudomonas aeruginosa*

Staphylococcus aureus

فصل اول: مقدمه

| | | |
|---------|---|----|
| ۱-۱ | باکتری <i>Pseudomonas aeruginosa</i> | ۲ |
| ۲-۱ | فاکتورهای بیماری‌زایی در <i>P. aeruginosa</i> | ۲ |
| ۱-۲-۱ | سیستم ترشحاتی نوع III | ۲ |
| ۲-۲-۱ | فرآیند Quorum Sensing | ۳ |
| ۳-۲-۱ | تشکیل بیوفیلم | ۴ |
| ۴-۲-۱ | تاژک | ۴ |
| ۳-۱ | آنتی‌بیوتیک‌های مورد استفاده بر علیه <i>P. aeruginosa</i> | ۴ |
| ۱-۳-۱ | آمینوگلیکوزیدها | ۵ |
| ۲-۳-۱ | β-لاکتام‌ها | ۷ |
| ۱-۲-۳-۱ | سفالوسپورین‌ها | ۹ |
| ۳-۳-۱ | فلوئوروکوینولون‌ها | ۱۰ |
| ۴-۳-۱ | پلی‌پپتیدهای حلقوی (پلی‌میکسین‌ها/کلیستین‌ها) | ۱۲ |
| ۴-۱ | سازوکارهای ایجاد کننده مقاومت به عوامل ضد میکروبی در <i>P. aeruginosa</i> | ۱۲ |
| ۱-۴-۱ | مقاومت ذاتی | ۱۲ |
| ۱-۱-۴-۱ | نفوذپذیری کم غشای بیرونی | ۱۲ |
| ۲-۱-۴-۱ | سیستم Efflux | ۱۴ |
| ۳-۱-۴-۱ | آنزیم‌ها | ۱۵ |
| ۲-۴-۱ | مقاومت اکتسابی | ۱۵ |
| ۳-۴-۱ | مقاومت ژنتیکی | ۱۵ |
| ۱-۳-۴-۱ | مقاومت ژنتیکی به آمینوگلیکوزیدها | ۱۶ |
| ۲-۳-۴-۱ | مقاومت ژنتیکی به β-لاکتام‌ها | ۱۶ |
| ۳-۳-۴-۱ | مقاومت ژنتیکی به کوینولون‌ها | ۱۶ |
| ۵-۱ | روش‌های غلبه بر مقاومت باکتری‌ها به عوامل ضد میکروبی | ۱۷ |
| ۱-۵-۱ | درمان ترکیبی | ۱۷ |
| ۶-۱ | فناوری نانو | ۲۰ |
| ۷-۱ | نانوذرات | ۲۰ |
| ۱-۷-۱ | نانوذرات اکسید روی | ۲۰ |

| | |
|----|--|
| ۲۱ | ۸-۱ فعالیت ضدباکتریایی نانوذرات اکسید روی |
| ۲۴ | ۹-۱ سمیت انتخابی نانوذرات اکسید روی علیه سلول‌های پروکاریوتی و یوکاریوتی |
| ۲۵ | ۱۰-۱ سازوکار عمل ضدباکتریایی نانوذرات اکسید روی |
| ۲۵ | ۱-۱۰-۱ تولید گونه‌های فعال اکسیژن |
| ۲۶ | ۲-۱۰-۱ آسیب به دیواره و غشای سلولی باکتری و تجمع نانوذرات اکسید روی در سیتوپلاسم |
| ۲۹ | ۱۱-۱ پروژه و اهداف آن |

فصل دوم: مواد و روش‌ها

| | |
|----|--|
| ۳۱ | ۱-۲ مواد |
| ۳۲ | ۲-۲ تجهیزات آزمایشگاهی |
| ۳۲ | ۳-۲ سنتز نانوذرات اکسید روی |
| ۳۳ | ۴-۲ پراکنده کردن نانوذرات اکسید روی |
| ۳۳ | ۵-۲ گونه‌های باکتری مورد استفاده |
| ۳۳ | ۶-۲ محیط کشت |
| ۳۴ | ۷-۲ تعیین غلظت سلول‌های باکتری |
| ۳۴ | ۸-۲ رسم منحنی رشد باکتری‌های مورد مطالعه |
| ۳۵ | ۹-۲ چگونگی بررسی تأثیر عوامل ضد میکروبی بر رشد باکتری |
| ۳۶ | ۱۰-۲ بررسی تأثیر نانوسیال اکسید روی علیه باکتری‌های مورد مطالعه و تعیین MIC |
| ۳۷ | ۱۱-۲ بررسی فعالیت ضدباکتریایی سیال پایه و پراکنده‌ساز |
| ۳۸ | ۱۲-۲ تعیین MBC نانوسیال اکسید روی علیه باکتری‌های مورد مطالعه |
| ۳۹ | ۱۳-۲ بررسی تأثیر آنتی‌بیوتیک سفنازیدیم بر رشد باکتری <i>P. aeruginosa</i> و تعیین MIC و MBC این آنتی‌بیوتیک |
| ۴۰ | ۱۴-۲ بررسی تأثیر آنتی‌بیوتیک توبرامایسین بر رشد باکتری <i>P. aeruginosa</i> و تعیین MIC و MBC این آنتی‌بیوتیک |
| ۴۱ | ۱۵-۲ بررسی تأثیر آنتی‌بیوتیک سیپروفلوکسازین بر رشد باکتری <i>P. aeruginosa</i> و تعیین MIC و MBC این آنتی‌بیوتیک |
| ۴۱ | ۱۶-۲ بررسی اثر توأم نانوسیال اکسید روی و سفنازیدیم علیه باکتری <i>P. aeruginosa</i> |
| ۴۲ | ۱۷-۲ بررسی اثر توأم نانوسیال اکسید روی و توبرامایسین علیه باکتری <i>P. aeruginosa</i> |
| ۴۳ | ۱۸-۲ بررسی اثر توأم نانوسیال اکسید روی و سیپروفلوکسازین علیه باکتری <i>P. aeruginosa</i> |
| ۴۳ | ۱۹-۲ بررسی اثر آنتی‌بیوتیک سفنازیدیم بر رشد باکتری <i>S. aureus</i> |
| ۴۳ | ۲۰-۲ بررسی اثر توأم نانوسیال اکسید روی و سفنازیدیم علیه باکتری <i>S. aureus</i> |
| ۴۴ | ۲۱-۲ بررسی اثر سیال پایه و پراکنده‌ساز توأم با هر یک از آنتی‌بیوتیک‌های مورد مطالعه |
| ۴۴ | ۲۲-۲ آنالیز داده‌ها |
| ۴۴ | ۱-۲۲-۲ محاسبه درصد مهار رشد |
| ۴۵ | ۲-۲۲-۲ محاسبه FICI |
| ۴۶ | ۳-۲۲-۲ آنالیز ایزوبول‌گرام |

۲-۲۳ تحلیل آماری داده‌ها ۴۷

فصل سوم: نتایج و بحث

| |
|--|
| ۳-۱ تعیین اندازه نانوذرات اکسید روی ۴۹ |
| ۳-۲ رسم منحنی رشد نمونه‌های استاندارد و کلینیکی باکتری <i>P. aeruginosa</i> ۴۹ |
| ۳-۳ مطالعه اثر نانوذرات اکسید روی علیه باکتری <i>P. aeruginosa</i> ۵۰ |
| ۳-۳-۱ تعیین MIC نانوسیال اکسید روی علیه نمونه استاندارد باکتری <i>P. aeruginosa</i> ۵۰ |
| ۳-۳-۲ تعیین MIC نانوسیال اکسید روی علیه نمونه کلینیکی باکتری <i>P. aeruginosa</i> ۵۲ |
| ۳-۳-۳ تعیین MBC نانوسیال اکسید روی علیه باکتری <i>P. aeruginosa</i> ۵۷ |
| ۳-۳-۴ مقایسه فعالیت ضدباکتریایی نانوسیال اکسید روی علیه نمونه استاندارد و کلینیکی باکتری <i>P. aeruginosa</i> ۵۸ |
| ۳-۴ مطالعه اثر توأم نانوذرات اکسید روی و سفنازیدیم علیه باکتری <i>P. aeruginosa</i> ۵۸ |
| ۳-۴-۱ تعیین MIC سفنازیدیم علیه نمونه استاندارد باکتری <i>P. aeruginosa</i> ۵۹ |
| ۳-۴-۲ تعیین MIC سفنازیدیم علیه نمونه کلینیکی باکتری <i>P. aeruginosa</i> ۶۰ |
| ۳-۴-۳ تعیین MBC سفنازیدیم علیه نمونه استاندارد و کلینیکی باکتری <i>P. aeruginosa</i> ۶۰ |
| ۳-۴-۴ مقایسه اثر سفنازیدیم علیه نمونه استاندارد و کلینیکی باکتری <i>P. aeruginosa</i> ۶۱ |
| ۳-۴-۵ بررسی اثر توأم نانوذرات اکسید روی و سفنازیدیم علیه نمونه استاندارد باکتری <i>P. aeruginosa</i> ۶۲ |
| ۳-۴-۶ بررسی اثر توأم نانوذرات اکسید روی و سفنازیدیم علیه نمونه کلینیکی باکتری <i>P. aeruginosa</i> ۶۴ |
| ۳-۵ مطالعه اثر توأم نانوذرات اکسید روی و توبرامایسین علیه باکتری <i>P. aeruginosa</i> ۶۶ |
| ۳-۵-۱ تعیین MIC توبرامایسین علیه نمونه استاندارد باکتری <i>P. aeruginosa</i> ۶۶ |
| ۳-۵-۲ تعیین MIC توبرامایسین علیه نمونه کلینیکی باکتری <i>P. aeruginosa</i> ۶۷ |
| ۳-۵-۳ تعیین MBC توبرامایسین علیه باکتری <i>P. aeruginosa</i> ۶۸ |
| ۳-۵-۴ مقایسه اثر توبرامایسین علیه نمونه استاندارد و کلینیکی باکتری <i>P. aeruginosa</i> ۶۹ |
| ۳-۵-۵ بررسی اثر توأم نانوذرات اکسید روی و توبرامایسین علیه نمونه استاندارد باکتری <i>P. aeruginosa</i> ۷۰ |
| ۳-۵-۶ بررسی اثر توأم نانوذرات اکسید روی و توبرامایسین علیه نمونه کلینیکی باکتری <i>P. aeruginosa</i> ۷۲ |
| ۳-۶ مطالعه اثر توأم نانوذرات اکسید روی و سیپروفلوکسازین علیه باکتری <i>P. aeruginosa</i> ۷۴ |
| ۳-۶-۱ تعیین MIC سیپروفلوکسازین علیه نمونه استاندارد باکتری <i>P. aeruginosa</i> ۷۴ |
| ۳-۶-۲ تعیین MIC سیپروفلوکسازین علیه نمونه کلینیکی باکتری <i>P. aeruginosa</i> ۷۵ |
| ۳-۶-۳ تعیین MBC سیپروفلوکسازین علیه نمونه استاندارد و کلینیکی <i>P. aeruginosa</i> ۷۶ |
| ۳-۶-۴ مقایسه اثر سیپروفلوکسازین علیه نمونه‌های استاندارد و کلینیکی باکتری <i>P. aeruginosa</i> ۷۶ |
| ۳-۶-۵ بررسی اثر توأم نانوذرات اکسید روی و سیپروفلوکسازین علیه نمونه استاندارد باکتری <i>P. aeruginosa</i> ۷۷ |
| ۳-۶-۶ بررسی اثر توأم نانوذرات اکسید روی و سیپروفلوکسازین علیه نمونه کلینیکی باکتری <i>P. aeruginosa</i> ۷۹ |
| ۳-۷ محاسبه FICI برای مطالعه اثر نانوسیال اکسید روی توأم با هر یک از آنتی‌بیوتیک‌های مورد بررسی علیه باکتری <i>P. aeruginosa</i> ۸۰ |
| ۳-۷-۱ محاسبه FICI برای مطالعه نوع اثر توأم نانوسیال اکسید روی و سفنازیدیم علیه باکتری <i>P. aeruginosa</i> ۸۱ |

| | |
|----------|--|
| ۸۳..... | ۲-۷-۳ محاسبه FICI برای مطالعه نوع اثر توأم نانوسیال اکسید روی و توبرامایسین علیه باکتری <i>P. aeruginosa</i> |
| ۸۴..... | ۳-۷-۳ محاسبه FICI برای مطالعه نوع اثر توأم نانوسیال اکسید روی و سیپروفلوکسازین علیه باکتری <i>P. aeruginosa</i> |
| ۸۵..... | ۸-۳ آنالیز ایزوبولوگرام برای مطالعه اثر توأم نانوسیال اکسید روی و هر یک از آنتی‌بیوتیک‌های مورد بررسی علیه باکتری <i>P. aeruginosa</i> |
| ۸۶..... | ۱-۸-۳ آنالیز ایزوبولوگرام برای مطالعه اثر توأم نانوسیال اکسید روی و سفنازیدیم علیه باکتری <i>P. aeruginosa</i> |
| ۸۸..... | ۲-۸-۳ آنالیز ایزوبولوگرام برای مطالعه اثر توأم نانوسیال اکسید روی و توبرامایسین علیه باکتری <i>P. aeruginosa</i> |
| ۹۰..... | ۳-۸-۳ آنالیز ایزوبولوگرام برای مطالعه اثر توأم نانوسیال اکسید روی و سیپروفلوکسازین علیه باکتری <i>P. aeruginosa</i> |
| ۹۱..... | ۹-۳ بررسی اثر توأم نانوذرات اکسید روی و سفنازیدیم علیه باکتری <i>S. aureus</i> |
| ۹۲..... | ۱-۹-۳ تعیین MIC نانوسیال اکسید روی علیه باکتری <i>S. aureus</i> |
| ۹۴..... | ۲-۹-۳ تعیین MIC آنتی‌بیوتیک سفنازیدیم علیه باکتری <i>S. aureus</i> |
| ۹۴..... | ۳-۹-۳ بررسی اثر توأم نانوذرات اکسید روی و سفنازیدیم علیه باکتری <i>S. aureus</i> |
| ۹۶..... | ۴-۹-۳ محاسبه FICI برای مطالعه نوع اثر توأم نانوسیال اکسید روی و سفنازیدیم علیه باکتری <i>S. aureus</i> |
| ۹۷..... | ۵-۹-۳ آنالیز ایزوبولوگرام برای مطالعه اثر توأم نانوسیال اکسید روی و سفنازیدیم علیه باکتری <i>S. aureus</i> |
| ۹۹..... | ۱۰-۳ بحث و نتیجه‌گیری |
| ۱۰۳..... | ۱۱-۳ پیشنهادات |

۱۰۴..... فصل چهارم: منابع و مآخذ

۱۱۳..... پیوست‌ها

فهرست شکل‌ها

- شکل ۱-۱: ساختار هسته مرکزی در آمینوگلیکوزیدها..... ۵
- شکل ۱-۲: ساختار بخش مرکزی سفالوسپورین‌ها ۱۰
- شکل ۱-۳: ساختار هسته مرکزی کوینولون‌ها..... ۱۱
- شکل ۱-۴: ورود آنتی‌بیوتیک‌های مختلف به سلول باکتری با یا بدون دخالت کانال‌های پورین..... ۱۳
- شکل ۱-۵: نمای کلی از یک سیستم Efflux ۱۴
- شکل ۱-۶: اجزای سیستم mexAB-oprM ۱۵
- شکل ۱-۷: اثر تیمار ضد میکروبی روی یک جمعیت باکتریایی (a) و یک جهش یافته حاضر در جمعیت با فراوانی 10^{-8} (b) ۱۸
- شکل ۱-۸: تصاویر SEM از باکتری *E. coli* قبل از تیمار (a) و بعد از تیمار با 1 g/l $0/2$ از نانوذرات اکسید روی به مدت ۵ ساعت (b) ۲۷
- شکل ۱-۹: تصاویر TEM برش‌های نازک *E. coli* قرار گرفته در معرض 10^{-3} M از نانوذرات اکسید روی ۲۸
- شکل ۱-۳: توزیع اندازه نانوذرات اکسید روی با استفاده از دستگاه سنجش اندازه نانوذرات ۴۹
- شکل ۳-۲: منحنی رشد نمونه استاندارد (الف) و نمونه کلینیکی (ب) باکتری *P. aeruginosa* ۴۹
- شکل ۳-۳: منحنی رشد نمونه استاندارد باکتری *P. aeruginosa* در حضور غلظت‌های مختلف نانوسیال اکسید روی ۵۰
- شکل ۳-۴: منحنی رشد نمونه استاندارد باکتری *P. aeruginosa* در حضور غلظت‌های مختلف سیال پایه و پراکنده‌ساز ۵۱
- شکل ۳-۵: منحنی رشد نمونه کلینیکی باکتری *P. aeruginosa* در حضور غلظت‌های مختلف نانوسیال اکسید روی ۵۳
- شکل ۳-۶: منحنی رشد نمونه کلینیکی باکتری *P. aeruginosa* در حضور غلظت‌های مختلف سیال پایه و پراکنده‌ساز ۵۴
- شکل ۳-۷: منحنی رشد نمونه استاندارد باکتری *P. aeruginosa* در حضور غلظت‌های مختلف سفنازیدیم ۵۹
- شکل ۳-۸: منحنی رشد نمونه کلینیکی باکتری *P. aeruginosa* در حضور غلظت‌های مختلف سفنازیدیم ۶۰
- شکل ۳-۹: منحنی رشد نمونه استاندارد باکتری *P. aeruginosa* در حضور غلظت‌های مختلف توبرامایسین ۶۷
- شکل ۳-۱۰: منحنی رشد نمونه کلینیکی باکتری *P. aeruginosa* در حضور غلظت‌های مختلف توبرامایسین ۶۸
- شکل ۳-۱۱: منحنی رشد نمونه استاندارد باکتری *P. aeruginosa* در حضور غلظت‌های مختلف سیپروفلوکسازین ۷۴
- شکل ۳-۱۲: منحنی رشد نمونه کلینیکی باکتری *P. aeruginosa* در حضور غلظت‌های مختلف سیپروفلوکسازین ۷۵
- شکل ۳-۱۳: آنالیز ایزوبولوگرام مربوط به اثر توأم نانوسیال اکسید روی و سفنازیدیم علیه نمونه استاندارد باکتری *P. aeruginosa* ۸۶
- شکل ۳-۱۴: آنالیز ایزوبولوگرام مربوط به اثر توأم نانوسیال اکسید روی و سفنازیدیم علیه نمونه کلینیکی باکتری *P. aeruginosa* ۸۷
- شکل ۳-۱۵: آنالیز ایزوبولوگرام مربوط به اثر توأم نانوسیال اکسید روی و توبرامایسین علیه نمونه استاندارد باکتری *P. aeruginosa* ۸۸
- شکل ۳-۱۶: آنالیز ایزوبولوگرام مربوط به اثر توأم نانوسیال اکسید روی و توبرامایسین علیه نمونه کلینیکی باکتری *P. aeruginosa* ۸۹
- شکل ۳-۱۷: آنالیز ایزوبولوگرام مربوط به اثر توأم نانوسیال اکسید روی و سیپروفلوکسازین علیه نمونه استاندارد باکتری *P. aeruginosa* ۹۰
- شکل ۳-۱۸: آنالیز ایزوبولوگرام مربوط به اثر توأم نانوسیال اکسید روی و سیپروفلوکسازین علیه نمونه کلینیکی باکتری *P. aeruginosa* ۹۱
- شکل ۳-۱۹: منحنی رشد باکتری *S. aureus* در حضور غلظت‌های مختلف نانوسیال اکسید روی ۹۲
- شکل ۳-۲۰: منحنی رشد باکتری *S. aureus* در حضور غلظت‌های مختلف سیال پایه و پراکنده‌ساز ۹۳
- شکل ۳-۲۱: منحنی رشد باکتری *S. aureus* در حضور غلظت‌های مختلف سفنازیدیم ۹۴
- شکل ۳-۲۲: آنالیز ایزوبولوگرام مربوط به اثر توأم نانوسیال اکسید روی و سفنازیدیم علیه باکتری *S. aureus* ۹۷

فهرست جداول

- جدول ۱-۱: تقسیم‌بندی ساختاری آمینوگلیکوزیدها ۶
- جدول ۱-۲: ساختار گروه‌های مختلف β -لاکتام‌ها ۸
- جدول ۲-۱: انواع محلول‌های مک فارلند استاندارد و ویژگی‌های آنان ۳۴
- جدول ۲-۲: مقادیر سیال پایه و پراکنده‌ساز در غلظت‌های مختلف نانوسیال اکسید روی ۳۸
- جدول ۳-۱: درصد مهار رشد نمونه استاندارد باکتری *P. aeruginosa* در حضور غلظت‌های مختلف نانوسیال اکسید روی ۵۱
- جدول ۳-۲: درصد مهار رشد نمونه استاندارد باکتری *P. aeruginosa* در حضور غلظت‌های مختلف سیال پایه و پراکنده‌ساز ۵۲
- جدول ۳-۳: درصد مهار رشد نمونه کلینیکی باکتری *P. aeruginosa* در حضور غلظت‌های مختلف از نانوسیال اکسید روی ۵۶
- جدول ۳-۴: درصد مهار رشد نمونه کلینیکی باکتری *P. aeruginosa* در حضور غلظت‌های مختلف از سیال پایه و پراکنده‌ساز ۵۶
- جدول ۳-۵: درصد مهار رشد نمونه استاندارد باکتری *P. aeruginosa* در حضور غلظت‌های مختلف سفتازیدیم ۵۹
- جدول ۳-۶: درصد مهار رشد نمونه کلینیکی باکتری *P. aeruginosa* در حضور غلظت‌های مختلف سفتازیدیم ۶۰
- جدول ۳-۷: درصد مهار رشد نمونه استاندارد باکتری *P. aeruginosa* در حضور غلظت‌های مختلف نانوسیال اکسید روی و سفتازیدیم به صورت جداگانه و توأم پس از ۲۴ ساعت ۶۲
- جدول ۳-۸: درصد مهار رشد نمونه استاندارد باکتری *P. aeruginosa* در حضور غلظت‌های مختلف از سیال پایه و پراکنده‌ساز و سفتازیدیم به صورت جداگانه و توأم پس از ۲۴ ساعت ۶۳
- جدول ۳-۹: درصد مهار رشد نمونه کلینیکی باکتری *P. aeruginosa* در حضور غلظت‌های مختلف از نانوسیال اکسید روی و سفتازیدیم به صورت جداگانه و توأم پس از ۱۰ ساعت ۶۴
- جدول ۳-۱۰: درصد مهار رشد نمونه کلینیکی باکتری *P. aeruginosa* در حضور غلظت‌های مختلف از سیال پایه و پراکنده‌ساز و سفتازیدیم به صورت جداگانه و توأم پس از ۱۰ ساعت ۶۵
- جدول ۳-۱۱: درصد مهار رشد نمونه استاندارد باکتری *P. aeruginosa* در حضور غلظت‌های مختلف توبرامایسین ۶۷
- جدول ۳-۱۲: درصد مهار رشد نمونه کلینیکی باکتری *P. aeruginosa* در حضور غلظت‌های مختلف توبرامایسین ۶۸
- جدول ۳-۱۳: درصد مهار رشد نمونه استاندارد باکتری *P. aeruginosa* در حضور غلظت‌های مختلف از نانوسیال اکسید روی و توبرامایسین به صورت جداگانه و توأم پس از ۲۴ ساعت ۷۰
- جدول ۳-۱۴: درصد مهار رشد نمونه استاندارد باکتری *P. aeruginosa* در حضور غلظت‌های مختلف از سیال پایه و پراکنده‌ساز و توبرامایسین به صورت جداگانه و توأم پس از ۲۴ ساعت ۷۱
- جدول ۳-۱۵: درصد مهار رشد نمونه کلینیکی باکتری *P. aeruginosa* در حضور غلظت‌های مختلف از نانوسیال اکسید روی و توبرامایسین به صورت جداگانه و توأم پس از ۱۰ ساعت ۷۲
- جدول ۳-۱۶: درصد مهار رشد نمونه کلینیکی باکتری *P. aeruginosa* در حضور غلظت‌های مختلف از سیال پایه و پراکنده‌ساز و توبرامایسین به صورت جداگانه و توأم پس از ۱۰ ساعت ۷۳
- جدول ۳-۱۷: درصد مهار رشد نمونه استاندارد باکتری *P. aeruginosa* در حضور غلظت‌های مختلف سیپروفلوکسازین ۷۴
- جدول ۳-۱۸: درصد مهار رشد نمونه کلینیکی باکتری *P. aeruginosa* در حضور غلظت‌های مختلف سیپروفلوکسازین ۷۵

| | |
|---|----|
| جدول ۳-۱۹: درصد مهار رشد نمونه استاندارد باکتری <i>P. aeruginosa</i> در حضور غلظت‌های مختلف از نانوسیال اکسید روی و سیروفلوکسازین به صورت جداگانه و توأم پس از ۲۴ ساعت | ۷۷ |
| جدول ۳-۲۰: درصد مهار رشد نمونه استاندارد باکتری <i>P. aeruginosa</i> در حضور غلظت‌های مختلف از سیال پایه و پراکنده‌ساز و سیروفلوکسازین به صورت جداگانه و توأم پس از ۲۴ ساعت | ۷۸ |
| جدول ۳-۲۱: درصد مهار رشد نمونه کلینیکی باکتری <i>P. aeruginosa</i> در حضور غلظت‌های مختلف از نانوسیال اکسید روی و سیروفلوکسازین به صورت جداگانه و توأم پس از ۱۰ ساعت | ۷۹ |
| جدول ۳-۲۲: درصد مهار رشد نمونه کلینیکی باکتری <i>P. aeruginosa</i> در حضور غلظت‌های مختلف از سیال پایه و پراکنده‌ساز و سیروفلوکسازین به صورت جداگانه و توأم پس از ۱۰ ساعت | ۸۰ |
| جدول ۳-۲۳: غلظت‌های توأم نانوسیال اکسید روی و سفنازیدیم علیه نمونه استاندارد باکتری <i>P. aeruginosa</i> | ۸۱ |
| جدول ۳-۲۴: غلظت‌های توأم نانوسیال اکسید روی و سفنازیدیم علیه نمونه کلینیکی باکتری <i>P. aeruginosa</i> | ۸۲ |
| جدول ۳-۲۵: مقادیر FIC نانوسیال اکسید روی و سفنازیدیم و FICI مربوط به اثر توأم آن دو علیه باکتری <i>P. aeruginosa</i> | ۸۲ |
| جدول ۳-۲۶: غلظت‌های توأم نانوسیال اکسید روی و توبرامایسین علیه نمونه استاندارد باکتری <i>P. aeruginosa</i> | ۸۳ |
| جدول ۳-۲۷: غلظت‌های توأم نانوسیال اکسید روی و توبرامایسین علیه نمونه کلینیکی باکتری <i>P. aeruginosa</i> | ۸۳ |
| جدول ۳-۲۸: مقادیر FIC نانوسیال اکسید روی و توبرامایسین و FICI مربوط به اثر توأم آن دو علیه باکتری <i>P. aeruginosa</i> | ۸۴ |
| جدول ۳-۲۹: غلظت‌های توأم نانوسیال اکسید روی و سیروفلوکسازین علیه نمونه استاندارد باکتری <i>P. aeruginosa</i> | ۸۴ |
| جدول ۳-۳۰: غلظت‌های توأم نانوسیال اکسید روی و سیروفلوکسازین علیه نمونه کلینیکی باکتری <i>P. aeruginosa</i> | ۸۴ |
| جدول ۳-۳۱: مقادیر FIC نانوسیال اکسید روی و سیروفلوکسازین و FICI مربوط به اثر توأم آن دو علیه باکتری <i>P. aeruginosa</i> | ۸۵ |
| جدول ۳-۳۲: مقادیر CI در بررسی اثر توأم نانوسیال اکسید روی و سفنازیدیم علیه نمونه استاندارد باکتری <i>P. aeruginosa</i> | ۸۶ |
| جدول ۳-۳۳: مقادیر CI در بررسی اثر توأم نانوسیال اکسید روی و سفنازیدیم علیه نمونه کلینیکی باکتری <i>P. aeruginosa</i> | ۸۷ |
| جدول ۳-۳۴: مقادیر CI در بررسی اثر توأم نانوسیال اکسید روی و توبرامایسین علیه نمونه استاندارد باکتری <i>P. aeruginosa</i> | ۸۸ |
| جدول ۳-۳۵: مقادیر CI در بررسی اثر توأم نانوسیال اکسید روی و توبرامایسین علیه نمونه کلینیکی باکتری <i>P. aeruginosa</i> | ۸۹ |
| جدول ۳-۳۶: مقادیر CI در بررسی اثر توأم نانوسیال اکسید روی و سیروفلوکسازین علیه نمونه استاندارد باکتری <i>P. aeruginosa</i> | ۹۰ |
| جدول ۳-۳۷: مقادیر CI در بررسی اثر توأم نانوسیال اکسید روی و سیروفلوکسازین علیه نمونه کلینیکی باکتری <i>P. aeruginosa</i> | ۹۱ |
| جدول ۳-۳۸: درصد مهار رشد باکتری <i>S. aureus</i> در حضور غلظت‌های مختلف نانوسیال اکسید روی | ۹۲ |
| جدول ۳-۳۹: درصد مهار رشد باکتری <i>S. aureus</i> در حضور غلظت‌های مختلف سیال پایه و پراکنده‌ساز | ۹۳ |
| جدول ۳-۴۰: درصد مهار رشد باکتری <i>S. aureus</i> در حضور غلظت‌های مختلف سفنازیدیم | ۹۴ |
| جدول ۳-۴۱: درصد مهار رشد باکتری <i>S. aureus</i> در حضور غلظت‌های مختلف از نانوسیال اکسید روی و سفنازیدیم به صورت جداگانه و توأم پس از ۲۴ ساعت | ۹۵ |
| جدول ۳-۴۲: درصد مهار رشد باکتری <i>S. aureus</i> در حضور غلظت‌های مختلف از سیال پایه و پراکنده‌ساز و سفنازیدیم به صورت جداگانه و توأم پس از ۲۴ ساعت | ۹۶ |
| جدول ۳-۴۳: غلظت‌های توأم نانوسیال اکسید روی و سفنازیدیم علیه باکتری <i>S. aureus</i> | ۹۶ |
| جدول ۳-۴۴: مقادیر FIC نانوسیال اکسید روی و سفنازیدیم و FICI مربوط به اثر توأم آن دو علیه باکتری <i>S. aureus</i> | ۹۷ |
| جدول ۳-۴۵: مقادیر CI در بررسی اثر توأم نانوسیال اکسید روی و سفنازیدیم علیه باکتری <i>S. aureus</i> | ۹۸ |

| | |
|------------------|---|
| ATCC | American Type Culture Collection |
| ATP | Adenosine triphosphate |
| CAZ | Ceftazidime |
| CC ₅₀ | % 50 Cytotoxic Concentration |
| CFU | Colony Forming Unit |
| CI | Combination Index |
| CIP | Ciprofloxacin |
| FIC | Fractional Inhibitory Concentration |
| FICI | Fractional Inhibitory Concentration Index |
| % GI | % Growth Inhibition |
| MBC | Minimum Bactericidal Concentration |
| MIC | Minimum Inhibitory Concentration |
| Mex | Multi-drug efflux |
| OD | Optical Density |
| Opr | Outer membrane protein |
| QS | Quorum Sensing |
| ROS | Reactive Oxygen Species |
| SEM | Scanned Electron Microscopy |
| TEM | Transmission Electron Microscopy |
| TOB | Tobramycin |
| TSA | Tryptic Soy Agar |
| ZnO NF | Zinc Oxide Nanofluid |
| ZnO NP | Zinc Oxide Nanoparticle |

فصل اول

مقدمه

۱-۱ باکتری *Pseudomonas aeruginosa*

P. aeruginosa یک باکتری گرم منفی، میله‌ای شکل و هوازی است. این باکتری ۵-۱/۵ میکرومتر طول و ۱-۰/۵ میکرومتر عرض دارد و به دلیل داشتن تازک قادر به حرکت می‌باشد. از ویژگی‌های آن می‌توان به توانایی رشد در دمای 42°C ، آزمایش اکسیداز مثبت، هیدرولیز آرژینین و احیای نیترا اشاره کرد. بیش‌تر آن‌ها قادر به تولید رنگدانه‌های پیووردین^۱ و پیوسیانین^۲ هستند که با هم رنگ سبز روشنی را ایجاد می‌کنند [۱]. این باکتری می‌تواند در انواع مختلفی از سوبستراها رشد کند و در پاسخ به تغییرات محیطی، ویژگی‌های خود را تغییر دهد. ژنوم بزرگ *P. aeruginosa* (۶/۲۶ مگا جفت باز، کدکننده ۵۵۶۷ ژن) در مقایسه با سایر باکتری‌ها، ماهیت سازش‌پذیری بالای آن را توضیح می‌دهد [۲]. این باکتری قادر به ایجاد بیماری در میزبان‌های متنوع شامل گیاهان، نماتودها، حشرات، موش و انسان می‌باشد [۳]. *P. aeruginosa* مسئول ایجاد ۱۶٪ پنومونیای بیمارستانی، ۱۲٪ عفونت‌های بیمارستانی مجاری ادراری، ۸٪ عفونت زخم‌های جراحی و ۱۰٪ عفونت‌های جریان خون است. این باکتری ظرفیت بالایی برای ایجاد عفونت در میزبان‌های حساس دارد و یک پاتوژن فرصت‌طلب محسوب می‌شود [۴]. *P. aeruginosa* به صورت ژنتیکی به بسیاری از آنتی‌بیوتیک‌ها مقاوم بوده و همچنین می‌تواند در طی درمان با سایر آنتی‌بیوتیک‌ها جهش‌یافته‌های مقاوم دیگری را نیز تولید کند [۵].

۱-۲ فاکتورهای بیماری‌زایی در *P. aeruginosa*

در بین بسیاری از فاکتورهای بیماری‌زایی *P. aeruginosa* سیستم ترشحی نوع III^۳، فرآیند Quorum Sensing، تشکیل بیوفیلم و داشتن تازک بیش‌تر مورد تأکید واقع شده‌است.

۱-۲-۱ سیستم ترشحی نوع III

بیش‌تر توکسین‌های تولید شده توسط باکتری‌ها از طریق سیستم ترشحی نوع I و II به محیط خارج سلولی اطراف ترشح می‌شوند. با مطالعات اخیر روی باکتری‌های گرم منفی مشخص شد شماری از توکسین‌ها از طریق سیستم ترشحی نوع III مستقیماً به داخل سلول‌های میزبان تزریق می‌شوند. سیستم ترشحی نوع III در چندین باکتری گرم منفی بیماری‌زا مانند *P. aeruginosa* وجود دارد. این سیستم از سه کمپلکس پروتئینی تشکیل شده است که عبارتند از: دستگاه ترشحی، ترنس-لوکون^۴ و توکسین‌های ترشح شده (پروتئین‌های اثرگر^۵). دستگاه ترشحی، توکسین‌ها را از پوشش سلولی باکتری‌ها عبور می‌دهد

1- Pyoverdine

2- Pyocyanin

3- Type III Secretion System (TTSS)

4- Translocon

5- Effector proteins

و ترنس لوکون مسئول تزریق این توکسین‌ها به داخل سلول میزبان است. سه پروتئین PcrV، PopB و PopD برای تشکیل یک ترنس لوکون کامل، ضروری هستند [۶].

توکسین‌های ترشح شده توسط سیستم ترشحی نوع III در *P. aeruginosa* عبارتند از: ExoS، ExoT، ExoU و ExoY. ExoS در انتهای آمینوی خود دارای ناحیه فعال کننده GTPase است و بدین وسیله در اسکلت سلولی اکتین اختلال ایجاد کرده و مهار فاگوسیتوز را به دنبال دارد. انتهای کربوکسیل این پروتئین نیز به سبب داشتن فعالیت ADP-ریبوزیل ترانسفراز برای سلول‌های یوکاریوتی سمی است. ExoT مانند ExoS یک پروتئین فعال کننده GTPase بوده و فعالیت ADP-ریبوزیل ترانسفراز آن تنها ۰/۲ درصد این فعالیت در ExoS می‌باشد. ExoY یک آدنیلات سیکلاز است و موجب افزایش سطح cAMP در سلول میزبان می‌شود. ExoU، تنها پس از میانکنش با یک کوفاکتور در سلول میزبان، فعالیت فسفولیپازی نشان می‌دهد و مرگ سریع سلول را به دنبال دارد [۷ و ۸].

۱-۲-۲ فرآیند Quorum Sensing

باکتری‌های *P. aeruginosa* بسته به این که تنها یا در جمعیت باشند، به طور متفاوتی رفتار می‌کنند. این رفتار متفاوت ناشی از یک فرآیند انتقال پیام بین سلولی به نام Quorum Sensing (QS) است. در این فرآیند، ترکیبات کوچکی به نام خودالقاگر^۱ به محیط آزاد می‌شوند. باکتری‌های همسایه پس از احساس غلظت‌های خودالقاگر، به وجود باکتری‌های محلی پی می‌برند و بیان ژن خود را مطابق آن تنظیم می‌کنند [۸]. این مولکول‌های پیام‌رسان در *P. aeruginosa* و بیش‌تر باکتری‌های گرم منفی، اسیل هوموسرین لاکتون هستند [۹]. سیستم‌های QS در *P. aeruginosa* تقریباً ۳۵۰ ژن (شش درصد ژنوم) را تنظیم می‌کنند و همچنین در تنظیم بسیاری از فرآیندها از قبیل تشکیل بیوفیلم و تولید توکسین نقش دارند [۸].

دو سیستم QS با نام‌های Las و Rhl در *P. aeruginosa* شناسایی شده است. سیستم Las، ژن‌های *lasR* و *lasI* و سیستم Rhl، ژن‌های *rhlR* و *rhlI* را در بر می‌گیرد. ژن‌های I رمزکننده دو آنزیم سنتتاز هستند که مولکول‌های پیام‌رسان را در دو سیستم سنتز می‌کنند. ژن‌های R رمزکننده پروتئین‌های تنظیمی هستند که هماهنگ با مولکول‌های پیام‌رسان، بیان شماری از ژن‌های هدف را فعال می‌کنند [۱۰].

۱-۲-۳ تشکیل بیوفیلیم

بیوفیلیم‌ها، اجتماعات میکروبی بسیار سازمان یافته، احاطه شده در یک ماتریکس پلی‌ساکاریدی و چسبیده به یک سطح هستند [۸]. شکل‌گیری بیوفیلیم‌ها در چند مرحله صورت می‌گیرد که عبارتند از: ۱) چسبندگی باکتری‌ها به سطح (۲) تشکیل تک‌لایه (۳) تشکیل میکروکلنی (۴) ایجاد بیوفیلیم بالغ. تاژک و پیلی نوع IV از فاکتورهای ضروری برای آغاز شکل‌گیری بیوفیلیم هستند [۱۱].

سلول‌های یک بیوفیلیم دارای ویژگی‌های فیزیکی و شیمیایی مشخصی هستند و با هم‌تاهای شناور خود تفاوت زیادی نشان می‌دهند. در مراحل آغازی تشکیل بیوفیلیم، بیان تعدادی از ژن‌ها تغییر می‌کند. برای مثال در سلول‌های *P. aeruginosa* در بیوفیلیم، افزایش بیان ژن *algC* دیده شده است. این ژن برای سنتز پلی‌ساکاریدهای خارج‌سلولی مورد نیاز است [۱۲ و ۱۳]. بیوفیلیم‌ها به عوامل ضد میکروبی مقاومت زیادی نشان می‌دهند و در بیماری‌زایی *P. aeruginosa* از اهمیت زیادی برخوردار هستند. علاوه بر این وجود ماتریکس پلی‌مری تولید شده توسط باکتری‌ها در بیوفیلیم، از فاگوسیتوز توسط سلول‌های سیستم ایمنی میزبان جلوگیری می‌کند [۱۴].

۱-۲-۴ تاژک

تاژک در *P. aeruginosa* برای حرکت کردن مورد نیاز است. علاوه بر این، تاژک در پراکندگی سلول‌های بیوفیلیم و چسبیدن به سطح سلول‌های میزبان نقش بسیار مهمی ایفا می‌کند. این فرآیند در بیماری‌زایی اهمیت دارد. فلاژلین، جزء ساختاری اولیه تاژک، توسط گیرنده خاصی بر سطح سلول‌های میزبان شناسایی می‌شود. این گیرنده با القای سنتز سیتوکین‌هایی از قبیل TNF، IL-6، IL-8 در سلول میزبان، باعث ایجاد پاسخ ایمنی می‌شود [۸].

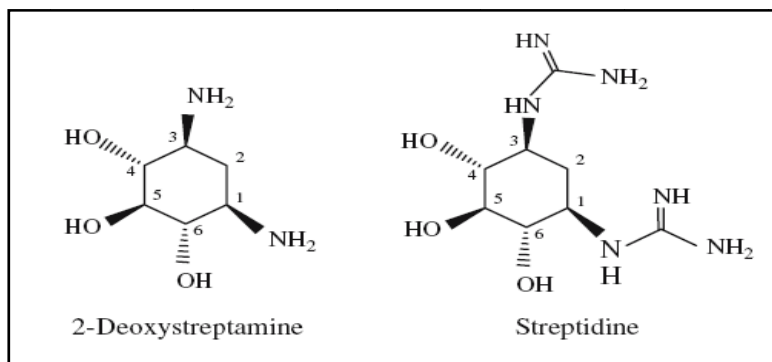
۱-۳ آنتی‌بیوتیک‌های مورد استفاده بر علیه *P. aeruginosa*

طیف وسیعی از آنتی‌بیوتیک‌ها به منظور درمان عفونت‌های ناشی از *P. aeruginosa* به کار می‌روند. این آنتی‌بیوتیک‌ها عمدتاً در کلاس‌های آمینوگلیکوزیدها^۱، β -لاکتام‌ها^۲، فلوروکوینولون‌ها^۳ و پلی‌میکسین‌ها^۴ جای می‌گیرند.

1- Aminoglycosides
2- β -Lactams
3- Fluoroquinolones
4- Polymyxins

۱-۳-۱ آمینوگلیکوزیدها

اولین آنتی‌بیوتیک آمینوگلیکوزید با نام استرپتومایسین^۱، در سال ۱۹۴۴ کشف شد [۱۵]. این دسته از آنتی‌بیوتیک‌ها دارای فعالیت ضد میکروبی علیه طیف وسیعی از میکروارگانیسم‌ها به ویژه باکتری‌های هوازی گرم منفی هستند [۱۶]. برخی از آمینوگلیکوزیدها مانند توبرامایسین^۲، استرپتومایسین و نئومایسین^۳ از گونه‌های استرپتومیسز^۴ و برخی مانند جنتامایسین^۵ از گونه‌های میکرومونوسپورا^۶ بدست می‌آیند. علاوه بر این، تعدادی از آن‌ها مانند آمیکاسین^۷ در شرایط آزمایشگاهی سنتز می‌شوند [۱۷]. در بین آمینوگلیکوزیدها آنتی‌بیوتیک‌های توبرامایسین، جنتامایسین و آمیکاسین علیه عفونت‌های *P. aeruginosa* بیش‌تر مورد استفاده قرار می‌گیرند. آمینوگلیکوزیدها ترکیبات بازی، بسیار قطبی و دارای بار مثبت هستند و حلالیت آن‌ها در آب بسیار زیاد است [۱۶]. از نظر ساختاری همه آمینوگلیکوزیدها دارای یک حلقه آمینوسیکلیتول بسیار حفظ شده هستند که تعدادی گروه آمینو و هیدروکسیل به آن متصل است. گروه‌های هیدروکسیل جایگاه‌هایی برای اتصال قند آمین‌ها از طریق پیوند گلیکوزیدی را فراهم کرده‌اند. بخش آمینوسیکلیتول، در اکثر آمینوگلیکوزیدهای مهم کلینیکی، استرپتامین یا ۲-دئوکسی استرپتامین (2-DOS) است. به طور استثنا، استرپتومایسین دارای هسته مرکزی استرپتیدین می‌باشد (شکل ۱-۱).



شکل ۱-۱: ساختار هسته مرکزی در آمینوگلیکوزیدها [۱۸]

آمینوگلیکوزیدها، بسته به موقعیت استخلاف‌های حلقه آمینوسیکلیتول به سه گروه تقسیم می‌شوند: وجود استخلاف در موقعیت چهار، استخلاف در موقعیت چهار و پنج یا استخلاف در موقعیت چهار و شش [۱۸ و ۱۹]. این تقسیم‌بندی در جدول ۱-۱ نشان داده شده است.

- 1- Streptomycin
- 2- Tobramycin
- 3- Neomycin
- 4- Streptomyces
- 5- Gentamicin
- 6- Micromonospora
- 7- Amikacin

جدول ۱-۱: تقسیم‌بندی ساختاری آمینوگلیکوزیدها

| استخلاف | ساختار | آمینوگلیکوزید |
|-------------------|--------|---|
| 4-monosubstituted | | Neamine Paromamine |
| | | Apramycin |
| 4,5-disubstituted | | Ribostamycin Butirosin B Neomycin B Paromomycin |
| 4,6-disubstituted | | Kanamycin Tobramycin Amikacin |
| | | Gentamicin C1 Gentamicin C2 Gentamicin C1A Geneticin |

آمینوگلیکوزیدها پس از شکستن پل‌های Mg^{2+} بین مولکول‌های لیپوپلی‌ساکاریدی موجود در دیواره سلولی باکتری، از طریق میانکنش‌های الکترواستاتیکی به غشای بیرونی باکتری‌های گرم منفی متصل می‌شوند. این فرآیند به صورت غیرفعال و مستقل از انرژی انجام می‌گیرد. اتصال آمینوگلیکوزیدها به لیپوپلی‌ساکاریدها و غشای بیرونی باعث از دست رفتن پایداری غشای بیرونی و افزایش نفوذپذیری آن می‌شود. عبور این آنتی‌بیوتیک‌ها از غشای سلولی نیازمند کسب انرژی از سیستم انتقال الکترون می‌باشد که یک فرآیند وابسته به اکسیژن است [۱۹]. گروه‌های آمین موجود در ساختار آمینوگلیکوزیدها در محیط‌های بیولوژیکی پروتونه می‌شوند. بنابراین آمینوگلیکوزیدها به عنوان ترکیبات پلی‌کاتیونی، تمایل اتصال به نوکلئیک‌اسیدها را نشان